



سنگ‌شناسی و ژئوشیمی سنگ‌های دگرگونی منطقه‌ی ماسال-شاندرمن (جنوب‌غرب بندرازی)

فاطمه نوری^{۱*}، سید محمد پورمعافی^۱، محمد لنکرانی^۲، فربیرز مسعودی^۱

۱- دانشکده علوم زمین، دانشگاه شهید بهشتی، تهران

۲- دانشکده زمین‌شناسی، دانشگاه تهران، تهران

(دریافت مقاله: ۹۰/۱/۱۷، نسخه نهایی: ۹۰/۵/۷)

چکیده: مجموعه‌ی دگرگونی شاندرمن، واقع در غرب استان گیلان و جنوب‌غربی بندرازی، از طیف گسترده‌ای از سنگ‌های دگرگونی شامل اسلیت، شیست، شیست آهکی، مرمر، سرپانتینیت، متاگابرو و اکلوزیت تشکیل گردیده است. براساس بررسی‌های سنگ‌شناختی، پروتولیت این مجموعه را سنگ‌های الترامافیک، گابرو-گابرونوریتی و پلیتی تشکیل داده‌اند. از نظر کانی‌شناسی، سنگ‌های متاپلیتی از بیوتیت، کلریت، مسکویت، آندالوزیت و سنگ‌های متاپلیتی از آمفیبیول، گارنت، الیوین، پیروکسن و سرپانتین تشکیل شده‌اند. بافت مهم این سنگ‌ها پورفیروپیدوپلاستیک و نماتوبلاستیک است. نسبت Zr/Y در این سنگ‌ها کمتر از ۳ است که از این نظر با سنگ‌های کمان‌های آتشفسانی اقیانوسی همخوانی دارد. بی‌هنجاری منفی عناصر K, P, Ti, Pb و مثبت عنصر Th, Hf, La, U متابازیت از فرورانش متأثر از فرآیند آلایش دارد. الگوی عناصر کمیاب، ویژگی‌های این مجموعه نشان‌دهنده‌ی شکل‌گیری آن در حاشیه‌ی غیرفعال اقیانوسی و شکل‌گیری در پهنه‌ی فرورانشی است.

واژه‌های کلیدی: مجموعه‌ی دگرگونی شاندرمن؛ سنگ‌شناسی؛ ژئوشیمی؛ متاپلیت؛ متاپلیتیت؛ حاشیه‌ی غیرفعال؛ پهنه‌ی فرورانش.

جمهوری آذربایجان تا سفیدرود در جنوب رشت گسترده شده و بخش غربی سیستم کوهزاد البرز و دامنه‌های ساحل جنوب-غربی خزر جنوبی را تشکیل می‌دهد. این کمربند شکل سینوسی داشته و در آذربایجان شرقی-غربی است و در ساحل جنوب‌غربی خزر راستای آن شمالی-جنوبی شده و سرانجام در غرب رشت راستای آن جنوب‌غربی-شمال‌شرقی است [۳] (شکل ۱). بخش وابسته به ایران آن ۵۰ کیلومتر عرض دارد و بیشتر شامل رسوب‌های دگرگونی شکل یافته‌ی زمان فانزوژوئیک و برونzedهای کوچکی از گروه سنگ‌های دگرگونی مجموعه‌ی شاندرمن و گشت است، که در طول دامنه‌های خزری آن رخنمون یافته است [۳، ۲]. این بخش از البرز تحت تأثیر

مقدمه

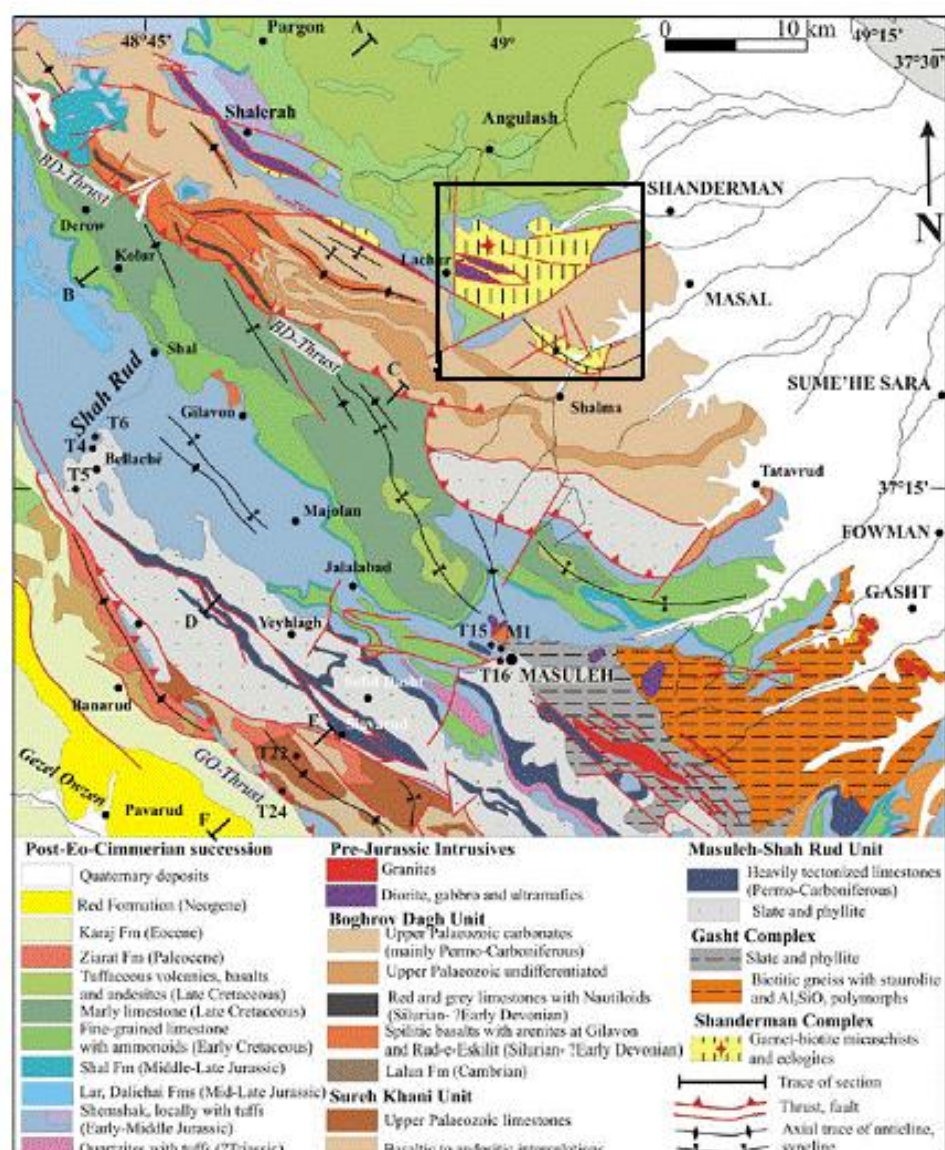
مجموعه‌ی دگرگونی شاندرمن در ۵۵ کیلومتری جنوب‌غربی بندرازی و بین طول‌های جغرافیایی $۴۹^{\circ} ۱۵'$ و $۴۸^{\circ} ۱۷'$ عرض‌های جغرافیایی $۳۷^{\circ} ۲۷'$ و $۳۷^{\circ} ۲۷'$ قرار گرفته است. این منطقه از لحاظ زمین‌ساختی بخشی از پهنه‌ی البرز است، که موقعیتی میان بلوک ایران مرکزی در شمال دارد [۱] [زمین‌ساخت، توران و حوضه‌ی خزر جنوبی] در طول سال‌های اخیر موضوع پژوهش‌های بسیاری بوده است [۲-۴]، این منطقه از نظر جغرافیایی از غرب به شرق به سه بخش کوههای تالش، البرز مرکزی و البرز شرقی تقسیم شده است. کوههای تالش از

* نویسنده مسئول:، تلفن: ۰۱۸۲(۴۶۲۶۹۲۶)، نمایر: ۰۱۸۲(۴۶۲۶۹۸۴)، پست الکترونیکی: f_noori_82@yahoo.com

شمالی شهر اسلام زیر رسوب‌های مزوژوئیک قرار دارد. موقعیت ساختاری این مجموعه مبهم و فاقد رخنمون مهمی است و به عنوان یک پنجره فرسایشی کوچک زیر واحدهای مزوژوئیک بین رود ماسال (دره‌ی ماسال) و اسلام رخنمون یافته است [۲]. رخنمون کم و جنگل‌های متراکم تعیین ارتباط بین سنگ‌های دگرگون و آذرین را مشکل می‌سازد. بیشتر سنگ‌های این مجموعه به شدت هوازدهاند. پهنه‌های برشی با راستای سنگ‌ها در گستره‌ی پهنه‌های برشی به شدت شکسته و هوازده شده‌اند. گسل‌های عادی و راستا لغز این سنگ‌ها را از

چندین فاز کوهزایی قرار گرفته است که از آن جمله می‌توان به حوادث زمین‌ساختی - دگرگونی دونین میانی - بالایی و کوهزایی سیمرین پیشین که در ناحیه اثرگذار بوده اشاره کرد [۳].

کوههای تالش در شمال‌غربی ایران ناحیه‌ای کلیدی برای بررسی جایگاه و سیر تکاملی زون برخوردی سیمرین پیشین است [۳]. سنگ‌های نفوذی و دگرگونی مجموعه‌ی شاندرمن در غرب شهرهای ماسال و شاندرمن در طول دره‌های عمیقی که دامنه‌های شرقی کوههای تالش را شکافت، رخنمون یافته است. رخنمون‌های مجازی از این سنگ‌های دگرگونی در بخش



شکل ۱ نقشه‌ی زمین‌شناسی ۱:۱۰۰۰۰۰ بندانگشتی، موقعیت منطقه‌ی مورد بررسی با مریع نشان داده شده است [۲].

براساس یافته‌های جدید، مجموعه‌ی شاندرمن در طول رخداد کوهزایی پیش از کوهزایی سیمیرین و احتمالاً وابسته به کوهزایی واریسکن (Variscan) پدید آمده است [۷,۳,۲]. عمرانی نیز در بررسی اکلوزیت‌های شاندرمن، فشار ۲۰-۱۵ کیلوبار و دمای ۶۰۰ درجه‌ی سانتی‌گراد را پیشنهاد کرد، وی بر این عقیده است که اکلوزیت‌های شاندرمن در اثر فرورانش پوسته‌ی افینوسی پالئوتیس در عمق کمتر از ۷۵ کیلومتر تشکیل شده است [۱].

در این پژوهش سعی شده است تا با استفاده از نتایج آنالیزهای شیمیایی سنگ‌های دگرگونی و تلفیق این داده‌ها و بررسی‌های سنگ‌شناختی، به ماهیت ژئوشیمیایی و پتروژنز سنگ‌های دگرگونی منطقه‌ی ماسال-شاندرمن پرداخته شود.

روش بررسی

سنگ‌های دگرگونی منطقه‌ی مورد نظر براساس پژوهش‌های صحرایی به دقت مورد بررسی قرار گرفتند. در پیمایش‌های صحرایی و تعیین مسیرهای مشخص از گستره‌ی مورد پژوهش، با توجه به تغییرات سنگ‌شناختی و ویژگی‌های فیزیکی، تعداد ۱۰۰ نمونه برداشت شده و سپس تعداد ۷۰ مقطع نازک از آنها برای بررسی‌های سنگ‌شناختی انتخاب شدند، و در نهایت پس از بررسی‌های سنگ‌شناختی، نمونه‌های سالم و کمتر دگرسان-شده به منظور آنالیز شیمیایی عناصر اصلی و کمیاب (به روش ICP)، ۱۴ نمونه از واحدهای اصلی متابازیتی، متابلیت و متالتراهامافیک انتخاب شدند و در آزمایشگاه AcmeLabs کانادا آنالیز شیمیایی شدند که نتایج آن در جدول شماره ۱ و ۲ ارائه شده‌اند.

توالی‌های رسویی پالئوزوئیک جدا می‌سازد. به طور کلی این مجموعه از میکاشیست‌ها، متابازیت‌ها با میزان کمتر از شیست‌های آهکی، کوارتزیت‌ها، فیلیت‌ها و اکلوزیت‌ها تشکیل شده است [۳,۲]. در مورد سنگ‌های دگرگون شاندرمن نظرهای متفاوتی وجود دارد. اولین گزارش‌های زمین‌شناسی در مورد سنگ‌های دگرگونی شاندرمن در بررسی زمین‌شناسی ناحیه‌ی ماسوله توسط دیویس منتشر شد [۵]. وی مجموعه‌ای از سنگ‌های دگرگونه‌ی توأم با سنگ‌های افیولیتی را در ارتفاعات جنوب‌غربی خزر تحت عنوان مجموعه‌ی همبافت اسلام-شاندرمن نامگذاری کرد و به پی‌سنگ پرکامبرین تختگاه روسیه نسبت داد. این مجموعه از سنگ‌های گنیسی و شیستی دانه‌ای، و به رنگ سبز-خاکستری تشکیل شده‌اند که در بیشتر نقاط به سنگ‌های التراپاژیک سرپانتینیزه شده وابسته‌اند. دیویس بخشی از این دگرگونه‌ها را به پرکامبرین و بخش دیگر را به عنوان سنگ‌های ژوراسیک غیردگرگون سازند شمشک نسبت داده است. افتخارنژاد [۶]، بروند افیولیتی واقع در ارتفاعات جنوب‌غربی خزر را بقایایی از پالئوتیس پیشنهاد کرد که در اثر رخدادهای هرسینین پدیدار شده‌اند. قربانی [۹] این سنگ‌های دگرگون را با توجه به شواهد منطقه‌ای و فلزیابی، به پالئوزوئیک بالایی نسبت داد. زانکتا [۲] نیز در بررسی‌های خود به بررسی اکلوزیت‌های دگرگونی که بیشتر شامل گارنت-مجموعه، از سنگ‌های دگرگونی که بیشتر شامل گارنت-استارولیت میکاشیست‌ها، اکلوزیت و گروه بزرگی از متابازیت‌ها هستند تشکیل یافته است. سال‌ستجی جدیدی که با استفاده از روش Ar/Ar روی میکاهای سفید پاراگونیتی انجام گرفت [۲]، نشانگر مجموعه‌های با فشار بالا و سن کربونیفر پسین است.

جدول ۱ ترکیب شیمیایی متابازیت‌ها و متالتراهامافیک‌های منطقه‌ی ماسال-شاندرمن، N18 = متابازیت، N18.1 = سرپانتینیت، N43 = متابازیت، N52 = متابازیت، N47.2 = گارنت-ترمولیت‌شیست، N47 = ترمولیت-اکتینولیت‌شیست، N45.6, N46 = اکلوزیت.

| Name | SiO ₂ | K ₂ O | Na ₂ O | CaO | MgO | Fe ₂ O ₃ | Al ₂ O ₃ | TiO ₂ | P ₂ O ₅ | Th | Zr |
|-------|------------------|------------------|-------------------|-------|-------|--------------------------------|--------------------------------|------------------|-------------------------------|------|------|
| N18 | 44,56 | 0,08 | 0,9 | 10,73 | 14,19 | 10,31 | 11,98 | 0,031 | 0,03 | 0,3 | 12,1 |
| N18.1 | 46,25 | 0,08 | 2,47 | 9,28 | 11,13 | 10,60 | 14,51 | 0,036 | 0,03 | 0,2 | 9,4 |
| N43 | 41,01 | - | 0,003 | 0,74 | 39,53 | 7,14 | 1,02 | 0,01 | 0,005 | 0,1 | 0,6 |
| N52 | 37,22 | 0,04 | 0,069 | 4,83 | 32,94 | 10,08 | 5,21 | 0,09 | 0,01 | <0,1 | 5,2 |
| N47.2 | 48,89 | 0,24 | 3,03 | 7,83 | 10,58 | 8,81 | 12,90 | 0,23 | 0,01 | 0,2 | 2,2 |
| N47 | 47,76 | 0,04 | 0,30 | 10,34 | 21,24 | 7,09 | 3,97 | 0,23 | 0,01 | <0,1 | 1 |
| N45.6 | 52,31 | 0,73 | 1,70 | 10,25 | 11,11 | 8,88 | 10,90 | 0,33 | 0,01 | 0,2 | 1,8 |
| N46 | 51,14 | 0,27 | 3,94 | 9,30 | 7,63 | 9,04 | 15,24 | 0,82 | 0,06 | 0,2 | 2,3 |

جدول ۲ ترکیب شیمیایی متاپلیت‌های منطقه‌ی ماسال-شاندرمن، N30 = اسلیت، N48 = شیست آهکی، N51 = آندالوزیت‌شیست، N17 = میکاشیست.

| Name | Cr | La | Ni | Pb | Sr | K | V | Th | Zr |
|------|-----|------|------|-------|----|------|-----|------|-------|
| N17 | ۱۳۰ | ۶,۱ | ۴۲,۲ | ۱۷,۱۲ | ۲۵ | ۱,۰۳ | ۲۰۰ | ۲,۸ | ۱۲,۷ |
| N30 | ۱۱۲ | ۲۳,۵ | ۳۴,۱ | ۲۱,۴۲ | ۴۵ | ۲۲۵ | ۷۲ | ۱۰,۸ | ۲۴,۵ |
| N48 | ۹۴ | ۲۸,۵ | ۴۶,۹ | ۱۳,۵۸ | ۸۸ | ۰,۸۳ | ۱۴۵ | ۱۱,۳ | ۹۵,۳ |
| N51 | ۱۳۰ | ۶,۱ | ۱۱,۷ | ۰,۲۸ | ۷ | ۰,۵۱ | ۴۲ | ۱۳,۴ | ۲۱۶,۴ |

جنوبی منطقه‌اند و اندکی دگرگون شده‌اند. رخمنون‌هایی از سازند شمشک نیز به طور دگرشیب روی مجموعه‌ی دگرگونی شاندرمن جای گرفته‌اند. این سازند با داشتن کنگلومرا در قاعده خود مشخص می‌شود، و حاوی قطعاتی از سرپانتینیت‌ها، اکلوژیت‌ها و دیگر سنگ‌های دگرگونی مجموعه‌ی شاندرمن است، که در انتهای کوه‌زایی سیمیرین پیشین در سطح رخمنون یافته‌اند [۱۱، ۱۲]. مهم‌ترین برش بخش پایینی کرتاسه در مجاورت آندالوزیت‌شیست‌های مجموعه سنتگی رخمنون دارد، این واحد از آهک‌های سفید تشکیل شده و تا حدودی دگرگون شده است. سازند یاد شده در بعضی بخش‌ها رخساره‌ی محلی ماسه‌ای نشان می‌دهد که به طور محلی گلوكونیتی شده و درون طبقات آهکی سفیدرنگ دیده می‌شود. رخساره‌ی ساحلی-دلتاوی کرتاسه بالای شامل سنگ‌های آواری، توف و گدازه‌های آندریتی تا بازی است که در بخش‌هایی فرسایش پوست پیازی نشان می‌دهند. این واحدها محدود به بخش شمالی منطقه‌اند [۱۱] (شکل ۱).

سنگ‌شناسی

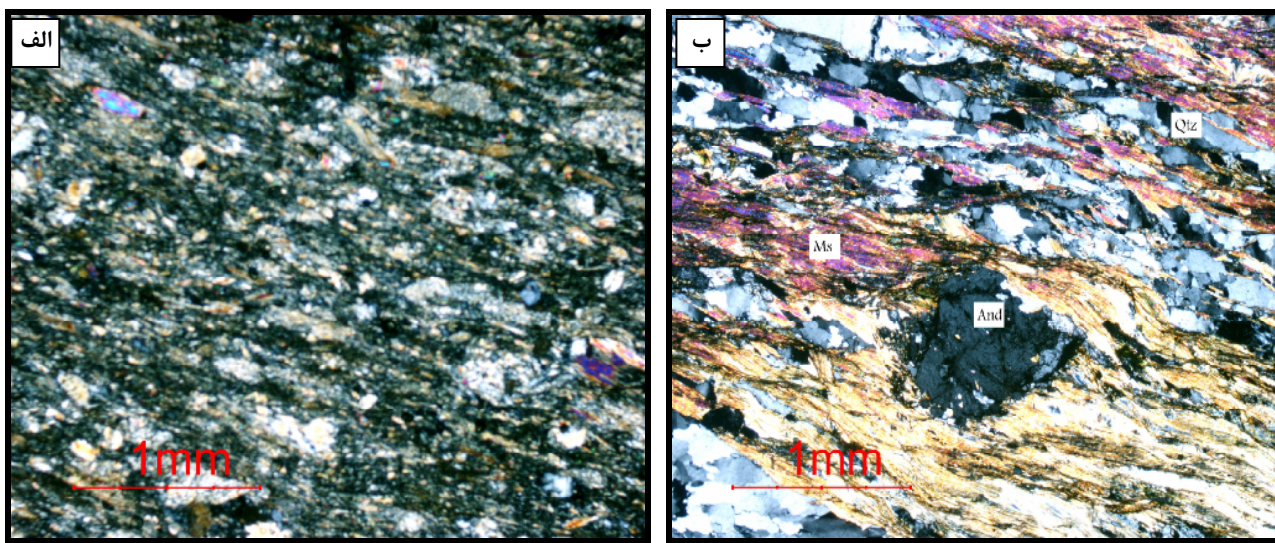
مهم‌ترین سنگ‌های دگرگونی منطقه ماسال-شاندرمن شامل مجموعه‌ای از متاپلیت‌ها، متاپاریت‌ها و متاترامافیک‌هاست.

توالی پلیتی اسلیت

این سنگ‌ها بافت ورقه‌ای دارند و کانی‌های کلریت، فنزیت و کانی‌های تیره در آنها دیده می‌شوند. اسلیت‌ها در مقاطع مورد بررسی از دو بخش تشکیل شده‌اند: ۱- لایه‌های نازک فیلوسیلیکاتی دارای فنزیت و کلریت و بلورهای عدسی شکل میکا که ساختار میکا ماهی را پدید آورده‌اند. ۲- بخش‌های به شکل زیگموئید که با کانی‌های درشت‌تر از زمینه پر شده‌اند (شکل ۲ الف).

زمین‌شناسی عمومی

سنگ‌های ناحیه‌ی مورد بررسی از کربونیفر زیرین تا کرتاسه بالای را شامل می‌شود. قدیمی‌ترین برونزد در گستره‌ی مورد بررسی سازند مبارک است که شامل شیل‌ها و آهک‌هایی است که با همبوری گسله روی سازندهای جوان‌تر یا قدیمی‌تر قرار گرفته است [۸، ۹]. این سازند بیشترین گسترش را در جنوب‌غربی منطقه داشته و از لایه‌های نازک تا متوسط سنگ آهک بیومیکرات خاکستری و شیل‌های سیاه رنگ با قطعات لیتوکلاست و اینترکلاست فراوان تشکیل شده است. رخمنون آهک‌های کربونیفر زیرین در منطقه به صورت خشن و کارستی است. این آهک‌ها در بخش جنوب شرقی شاندرمن‌رود، که از جنگل پوشیده شده، دیده می‌شوند [۸]. رخمنون‌هایی از واحدهای پرمین (سازند دورود، روتله، نسن) با همبوری گسله روی سنگ‌های دگرگونی شاندرمن قرار گرفته است. سازند دورود در این ناحیه از کنگلومرا، ماسه سنگ قهقهه‌ای و سیلتستون‌های ضخیم لایه که در بخش‌های طبقاتی از سنگ آهک دولومیتی در آن مشاهده می‌شود، تشکیل شده است. سازند روتله نیز از سنگ آهک بدبو و متببور به رنگ زرد در سطح هوازده و خاکستری در سطح تازه دیده می‌شود که دارای رگه‌های کلسیتی فراوان است. این آهک‌ها در بخش‌های پایینی نازک و در بخش‌های بالایی ضخیم‌تر می‌شوند و به تدریج روی بخش بالایی سازند دورود قرار می‌گیرند [۹، ۱۰]. رخمنون دیگری از سنگ‌های آهکی در بخش غربی جاده‌ی شالما دیده می‌شود که شامل تنابوی از شیل‌های مارنی سیاه و سنگ آهک گرهکدار تیره در پایین و سنگ آهک ضخیم لایه حاوی چرت در بالاست، این بخش از نهشته‌های پرمین را هم ارز سازند نسن در نظر می‌گیرند. جدایش این سازندها به طور کامل امکان پذیر نیست. این واحدها محدود به بخش



شکل ۲ (الف) نمونه‌ای از اسلیت‌های منطقه‌ی مورد بررسی، (ب) تناوب لایه‌های غنی از مسکویت، کلریت و کوارتز همراه با کانی آندالوزیت در مرکز عکس.

توالی مافیک

متاگابرو

بررسی‌های میکروسکوپی نشانگر بافت ریزدانه‌ای، دسته جارویی است. آمفیبول، اپیدوت، سرپانتین و پلاژیوکلاز کانی‌های تشکیل‌دهنده‌ی این سنگ‌ها هستند (شکل ۳ الف). پیروکسن نیز به مقدار کم در زمینه‌ی سنگ دیده می‌شود. کانی ترمولیت محصول تجزیه پیروکسن‌هاست. اپیدوت نیز به صورت پراکنده در میان کانی‌های دیگر دیده می‌شوند. پلاژیوکلازهای زمینه، ریز دانه بوده و در حال تبدیل به اپیدوت هستند. سرپانتین نیز در لابه‌لای کانی‌ها گسترش دارد.

متالتراهامافیک

بررسی‌های میکروسکوپی بافت دانه‌ای و کرونا را برای متالتراهامافیک‌ها نشان می‌دهد. بافت پویکلوبلاستیک و مشبک نیز در برخی مقاطع به چشم می‌خورد. الیوین، پیروکسن، آمفیبول و سرپانتین کانی‌های تشکیل‌دهنده‌ی سنگ هستند (شکل ۳ ب). الیوین و پیروکسن پورفیروبلاست‌های سنگ را تشکیل می‌دهند، الیوین به صورت شکل‌دار تا نیمه‌شکل‌دار بوده و بیشتر این بلورها پویکلوبلاستیک‌اند. کانی آمفیبول تشکیل‌دهنده‌ی ادخال‌ها بوده و بیشتر کانی‌های اولیه سرپانتینی شده‌اند. کانی پیروکسن به صورت بی‌شکل تا نیمه‌شکل دار وجود دارد. این کانی‌ها نسبت به الیوین‌ها سالم‌تر به نظر می‌رسند ولی در راستای شکستگی‌های آنها سرپانتینی-

آندالوزیت‌شیست

بافت بیشتر آندالوزیت‌شیست‌ها، پورفیروبلاستیک است (شکل ۲ ب). بلورهای آندالوزیت و گاهی کوارتز پورفیروبلاست‌ها را تشکیل می‌دهند. روند میلونیتی شدن نیز در این سنگ‌ها وجود دارد. کوارتز، آندالوزیت، بیوتیت، مسکویت و کلریت کانی‌های تشکیل‌دهنده‌ی سنگ هستند، گرافیت و اکسیدهای فلزی نیز در برخی سنگ‌ها دیده می‌شوند. بلورهای آندالوزیت به صورت بی‌شکل تا نیمه‌شکل دار دیده می‌شوند. در برخی از بلورهای آندالوزیت فرآیند کلریتی شدن و سریسیتی شدن مشهود است. مسکویت، کلریت و بیوتیت شیستوزیته سنگ را تشکیل می‌دهند به علاوه، کلریت‌ها و مسکویت‌های نیز وجود دارند که قطع کننده شیستوزیته هستند. بلورهای کوارتز نیز بیشتر به صورت کشیده در لابه‌لای فیلوسیلیکات‌ها قرار گرفته و تشکیل‌دهنده‌ی بخش ریزبلور سنگ هستند. برگوارگی S_1 و S_2 در آندالوزیت‌شیست‌ها نیز دیده می‌شوند.

میکاشیست

بافت میکاشیست‌های منطقه گرانولوبلاستیک است. کوارتز، کلریت، مسکویت و بیوتیت کانی‌های اصلی تشکیل‌دهنده‌ی سنگ هستند. کوارتز با خاموشی موجی در سنگ دیده می‌شود و تشکیل‌دهنده‌ی بخش ریزبلوری سنگ است. این بلورها حاشیه‌ی بریده‌ای دارند و کشیدگی نیز در آنها به چشم می‌خورد. برگوارگی S_1 و S_2 در این سنگ‌ها گسترش یافته است.

دهنده‌ی سنگ هستند. پلاژیوکلاز نیز در برخی مقاطع وجود دارد گارنت و ترمولیت پورفیروبلاست‌های اصلی سنگ را تشکیل می‌دهند برگوارگی S_1 کاملاً گسترش یافته است.

ترمولیت- اکتینولیت‌شیست

ترمولیت- اکتینولیت‌شیست‌های شاندرمن بافت نماتوبلاستیک و متقاطع نشان می‌دهند. ترمولیت- اکتینولیت، پلاژیوکلاز و کلریت کانی‌های تشکیل‌دهنده‌ی سنگ‌اند. ترمولیت- اکتینولیت سازنده‌ی اصلی شیستوزیت‌هه سنگ بوده که تعدادی از آنها نیز ترمولیت- اکتینولیت‌های جهت‌یافته را قطع می‌کنند (شکل ۳ پ). کانی کلریت به صورت پراکنده در میان ترمولیت- ها حضور دارد. در این سنگ‌ها، برگوارگی S_1 و S_2 نیز دیده می‌شود.

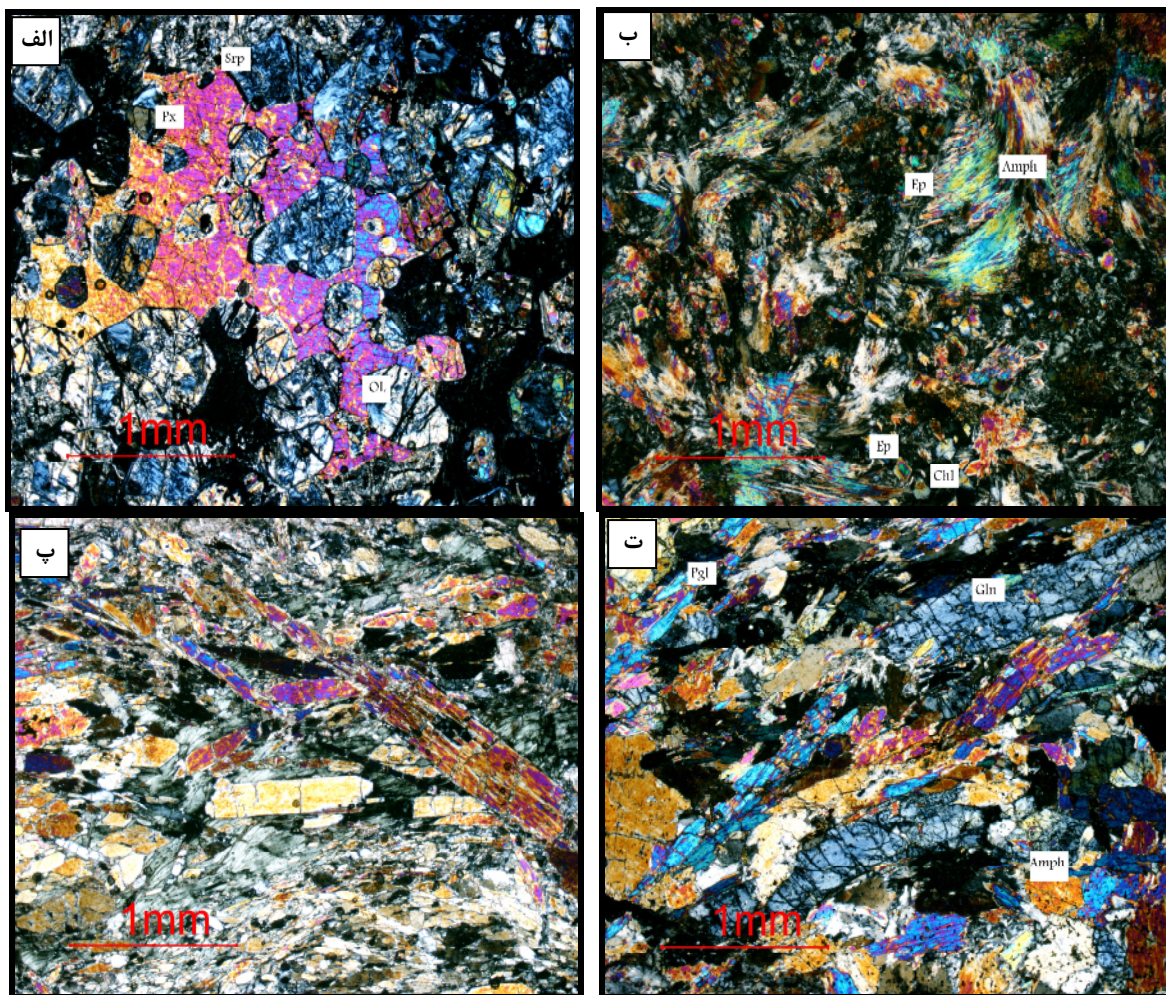
شدن مشهود است. تعیین دقیق نام این سنگ‌ها به سبب دگرگونی و سرپانتینی شدن امکان‌پذیر نیست.

سرپانتینیت

بافت سرپانتینیت بیشتر به صورت مشبك است. کلریت و سرپانتین (حاصل از تبدیل کانی‌های الیوین و پیروکسن) کانی‌های اصلی تشکیل‌دهنده‌ی سنگ هستند. در این سنگ‌ها هنوز بقایایی از الیوین و پیروکسن به چشم می‌خورند.

گارنت- ترمولیت‌شیست

در بررسی‌های میکروسکوپی، بافت گارنت- ترمولیت‌شیست‌های این مجموعه دگرگونی، پورفیروبلاستیک، پورفیرونماتوبلاستیک تشخیص داده شده‌اند. بافت پویکیلوبلاستیک نیز به عنوان بافت فرعی در این سنگ‌ها دیده می‌شود. ترمولیت، گارنت، کلریت و مسکویت کانی‌های تشکیل-

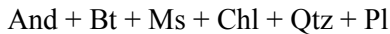


شکل ۳ (الف) کانی‌های ترمولیت و اپیدوت در یک متاکابرو. (ب) بلورهای سرپانتینیزه شده الیوین و پیروکسن در یک متالترامافیک، (پ) ترمولیت- های نسل دوم که قطع‌کننده‌ی ترمولیت‌های نسل دوم هستند، (ت) کانی‌های گارنت، گلوکوفان، پیروکسن و پاراگونیت موجود در اکلوژیت‌های منطقه.

مقابل در متاپلیت‌های شاندرمن است.



زون آندالوزیت، این زون با شکل‌گیری آندالوزیت در گستره‌ی مرکزی مجموعه‌ی دگرگونی مشخص می‌شود. پاراژنر موجود برای شکل‌گیری آندالوزیت در آندالوزیت‌شیست‌های این مجموعه شامل پاراژنر مقابل است:



زون‌های دگرگونی در دنباله‌ی سنگ‌های بازی

زون‌های کلریت و بیوتیت، زون کلریت و بیوتیت در سنگ‌های بازیکی چون متاگابروها، ترمولیت-اکتینولیت‌شیست‌ها به چشم می‌خورد. این زون در متاگابروهای منطقه با پاراژنر کلریت + اپیدوت + آلبیت + ترمولیت - اکتینولیت + کوارتز و در ترمولیت - اکتینولیت‌شیست‌ها با پاراژنر ترمولیت - اکتینولیت + کلریت + آلبیت + اپیدوت + کوارتز و علاوه بر آن، کلسیت و بیوتیت مشخص می‌شود [۱۲].

زون گارنت، سنگ‌های دگرگونی این زون در منطقه‌ی ماسال-شاندرمن دارای پاراژنر گارنت + کلریت + ترمولیت-اکتینولیت + اپیدوت + کوارتنزند.

رخساره‌های دگرگونی منطقه‌ی بررسی شده

رخساره شیست‌سیز

از سمت شمال به سمت جنوب مجموعه‌ی دگرگونی، درجات پایین دگرگونی با تبلور کلریت در سنگ مشخص می‌شود که در گستره‌ی رخساره شیست‌سیز قرار می‌گیرد. در دماهای پایین رخساره شیست‌سیز، کلریت، مسکویت، اکتینولیت و آلبیت حضور دارند و در دماهای بالا به ترتیب بیوتیت و گارنت نیز ظاهر می‌شوند [۱۲]. با توجه به ویژگی‌های یاد شده، بخش بیشتری از سنگ‌های زون کلریت در شروع رخساره شیست-سیز و سنگ‌های زون بیوتیت، آندالوزیت و زون گارنت، به ترتیب با افزایش درجه‌ی دگرگونی در درجه‌های بالاتر تشکیل شده‌اند.

رخساره‌های دگرگونی در اکلوژیت‌های منطقه‌ی شاندرمن بر اساس بررسی‌های میکروسکوپی و آنالیز ریزکاونده که توسط عمرانی [۱۱] روی اکلوژیت‌های شاندرمن صورت گرفت، در اکلوژیت‌های منطقه‌ی مورد بررسی، رخساره‌های پیشرونده

اکلوژیت

در این گروه از سنگ‌ها گارنت از دو بخش مجزا تشکیل شده است (گارنت I و گارنت II). بخش درونی بلورهای گارنت سرشار از ادخال است (آمفیبول، اپیدوت، روتیل، فنثیت، کوارتز و اسفن). بخش خارجی گارنت (گارنت II) بدون ادخال است. گارنت‌ها دارای شکستگی‌های شعاعی و موازی هستند: شکستگی‌های شعاعی در اطراف ادخال‌های کوارتز وجود دارد. شکل گارنت‌ها از شکل دار تا بی‌شکل متغیر است. در نمونه‌های غنی از فازهای آبدار، حاشیه‌ای از آمفیبول به دور گارنت دیده می‌شود. امfasیت به صورت بخشی به آمفیبول و آلبیت تبدیل شده است این کانی دارای ادخال‌های کوارتز، گلوكوفان و روتیل است. همه‌ی نمونه‌ها فازهای آبدارند، آمفیبول فاز آبدار غالب موجود در این سنگ‌هاست. آمفیبول مرحله‌ی پیشرونده در گارنت حفظ شده است و نسبت به آمفیبول‌های زمینه آبی‌اند. آمفیبول‌های فیبری زمینه از نوع ترمولیت-اکتینولیت است (شکل ۳ ت). قطعه‌های میکائی‌سفید نیز در زمینه دیده می‌شوند [۱۱].

زون‌های دگرگونی

با بررسی مقاطع میکروسکوپی تهیه شده از سنگ‌های دگرگونی ناحیه‌ی مورد بررسی وجود سه زون دگرگونی (زون کلریت، زون بیوتیت و زون آندالوزیت) در توالی بازیک به اثبات رسید، با کلریت، بیوتیت و زون گارنت در توالی بازیک به اثبات رسید، با توجه به وجود پوشش گیاهی انبوه، جنگلی و نبود رخمنون کافی از بخش‌های مختلف واحدهای مورد بررسی، تعیین نقشه‌ی زون‌بندی سنگ‌های دگرگونی شاندرمن امکان‌پذیر نیست.

- زون‌های دگرگونی در توالی سنگ‌های پلیتی

زون کلریت، این زون در بخش‌های جنوبی مجموعه‌ی دگرگونی در سنگ‌هایی چون اسلیت حضور دارد. به نظر می‌رسد این زون دارای پاراژنر مقابل در متاپلیت‌های شاندرمن است.



زون بیوتیت، این زون در بخش‌های شمالی و جنوبی مجموعه‌ی دگرگونی قابل شناسایی است و به صورت شاخصی در میکاشیست‌های منطقه حضور دارد. این زون دارای پاراژنر

نسبت به گوشه‌های اولیه بهنجار شده است. چنانکه در این شکل مشاهده می‌شود، فراوانی عناصر کمیاب Sm, Eu, Y, Yb, Lu در نمونه‌ها تقریباً مشابه با فراوانی این عناصر در گوشه‌های اولیه (LILE) است و نیز عناصر کمیاب دارای پتانسیل یونی پایین (LILE) پراکندگی بیشتری نسبت به عناصر پتانسیل یونی بالای (HFSE) دارند. این پراکندگی به علت تحرک نسبتاً زیاد عناصر LILE در طول دگرسانی است [۱۵]. روند تغییرات عناصر کمیاب در سنگ‌های مختلف کم و بیش موافق است که این دلیل بر هم‌خاستگاه بودن آنهاست [۱۶]. بی‌هنجاری منفی عناصر کمیاب P, Ti, K منجر به پیدایش الگوی ضربدری در روند تغییرات عناصر کمیاب نمونه‌ها شده است. این امر از ویژگی‌های روش مagma-tissim کمانی است. این ناهنجاری منفی می‌تواند ناشی از آغشته‌گی و اختلال ماقما با مواد پوسته‌ای و یا ناشی از باقی ماندن این عناصر در فازهای دیرگداز موجود در تفاله‌ی دیرگداز لیتوسفر اقیانوسی فرورونده و عدم اتحال و مشارکت آن‌ها در گدازه‌ی حاصل از این مناطق باشد اما از آنجا که این عناصر متحرک‌اند، بنابراین نقش دگرسانی انکارناپذیر است و بسته به شرایط سیالات گرمابی و یا نوع دگرسانی، این عناصر به سنگ اضافه شده و یا از سنگ شسته شده‌اند که می‌تواند نشان‌دهنده‌ی شکل‌گیری سنگ‌ها در منطقه‌ی فرورانش باشد [۱۷] زیرا در مناطق فرورانش، شاره‌های آزاد شده از لیتوسفر فرورونده که از P, Ti, F قبیرند، در گوشه‌ی گوشه‌های افزایش می‌یابد [۱۵]. ناهنجاری مثبت Pb به دگرنهادی گوه گوشه‌های به وسیله شاره‌های ناشی از پوسته‌ی اقیانوسی فرورو و یا آلایش ماقما با پوسته‌ی قاره‌ای اشاره دارد (شکل ۵ ب) [۱۸, ۱۹].

سنگ‌های متاپلیتی

با توجه به دگرسانی نسبتاً گستره‌ی سنگ‌های متاپلیتی منطقه، در این بخش سعی شد تا مرکز بر بررسی‌های ژئوشیمیایی نمونه‌های سالم و کمتر دگرسان شده باشد La, Ce, Nd, Zr, Hf, Ti (۲). در این پژوهش از عناصری چون La, Ce, Nd, Zr, Hf, Ti به دلیل ثبات نسبی و تحرک اندک در فرآیندهای زمین‌ساختی، در تعیین محیط و جایگاه زمین‌ساختی سنگ‌های پلیتی مجموعه شاند و بهره گرفته شده است. الگوی عناصر کمیاب در مجموعه-

شیست‌آبی، اکلوژیت و رخساره‌های پسروندی آمفیبولیت و شیست‌سیز وجود دارند.

ژئوشیمی

با توجه به دگرسانی نسبتاً گستره‌ی سنگ‌های دگرگونی منطقه، در این بخش سعی شد تا بررسی‌های ژئوشیمیایی روی نمونه‌های سالم و کمتر دگرسان شده (متاپلیت‌ها، متاپلیت‌های ژئوشیمیایی و متابازیت‌ها) مرکز شود و در عین حال در تفسیر داده‌های ژئوشیمیایی بیشتر روی ویژگی‌های عناصری تکیه شود که نسبتاً کم تحرک باقی می‌مانند. نتایج تجزیه شیمیایی نمونه‌های مختلف در جدول شماره (۱) ارائه شده‌اند.

سنگ‌های متاپلیت و متالتراپلیت

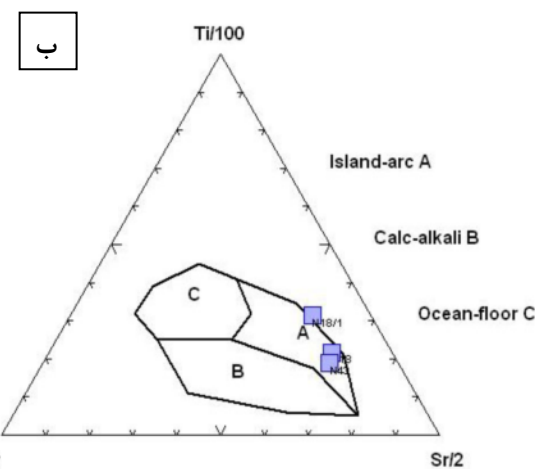
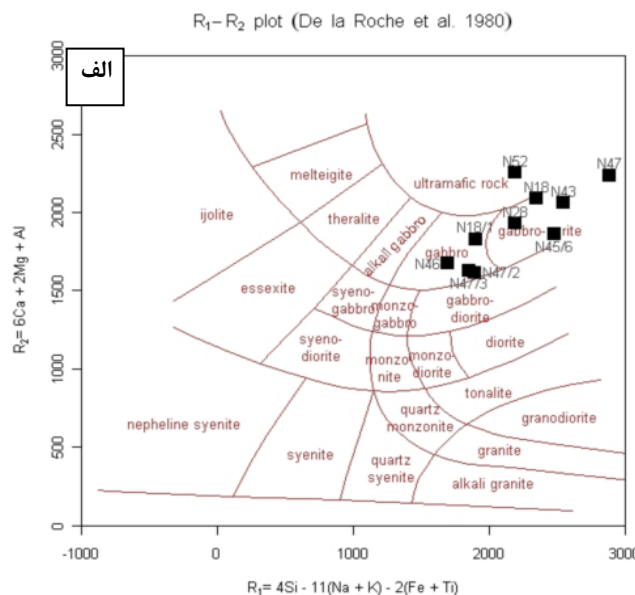
درصد SiO₂ این سنگ‌ها بین ۳۷-۵۲ درصد متغیر است و در نمودار (R₁-R₂) (De La Roch et al., 1980) گابرونوریت و التراپلیت قرار می‌گیرند (شکل ۴ الف). درصد Al₂O₃ نمونه‌ها نسبتاً متنوع بوده و بین ۱۵-۱ درصد متغیر است. مقدار Al₂O₃ بالا در اکلوژیت‌ها (۱۵ درصد) نشان‌دهنده‌ی تبلور کانی‌های مافیک از گدازه‌ی اولیه سازنده‌ی آن‌ها در فشارهای نسبتاً بالاست [۱۳]. دامنه‌ی تغییرات K₂O در این سنگ‌ها ۳-۸٪ درصد وزنی است. تنوع و پراکندگی نمونه‌ها از نظر مقدار K₂O می‌تواند ناشی از تحرک پذیری عنصر پتانسیم حین فرآیند دگرسانی سنگ‌های منطقه باشد. به منظور تعیین محیط زمین‌ساختی این سنگ‌های دگرگونی، از نمودارهای استفاده شده که عناصر کمیاب کم تحرکی چون Hf, Ta, V, Zr, Nb, Y سازنده‌های آن هستند. این عناصر نسبتاً نامتحرک بوده و طی فرآیندهایی چون هوازدگی، دگرسانی و دگرگونی حساسیت نشان نداده و وارد فاز شاره نمی‌شوند. چنانکه مشاهده می‌شود، متاپلیت‌های منطقه‌ی مورد بررسی در گستره جزایر کمانی قرار می‌گیرند (شکل ۴ ب و ۵ الف). از نسبت عناصر کمیاب Zr/Y نیز برای تشخیص محیط زمین‌ساختی می‌توان استفاده کرد [۱۴]. چنانچه نسبت Zr/Y<3 باشد، جایگاه زمین‌ساختی، کمان‌های آتشفشاری اقیانوسی و اگر Zr/Y>3 باشد کمان‌های آتشفشاری قاره‌ای است. سنگ‌های دگرگونی منطقه‌ی مورد بررسی دارای نسبت Zr/Y<3 هستند و در گروه کمان‌های آتشفشاری اقیانوسی قرار می‌گیرند. در (شکل ۵ ب) ترکیب شیمیایی سنگ‌های دگرگونی منطقه

در این سنگ‌ها مشابه با روند افزایش این عناصر در سنگ‌های غنی از سیلیس است [۲۰]. نسبت U/Th شیست‌های آهکی منطقه نیز به سمت میکاشیست‌ها کاهش نشان می‌دهد (شکل ۶الف). بنابراین سنگ مادر شیست‌های آهکی منطقه‌ی مورد بررسی، مارن بوده است و به دلیل جذب سطحی قابل توجه توریم در مقایسه با اورانیم، افزایش آن در شیست‌های آهکی قابل توجیه است [۲۱].

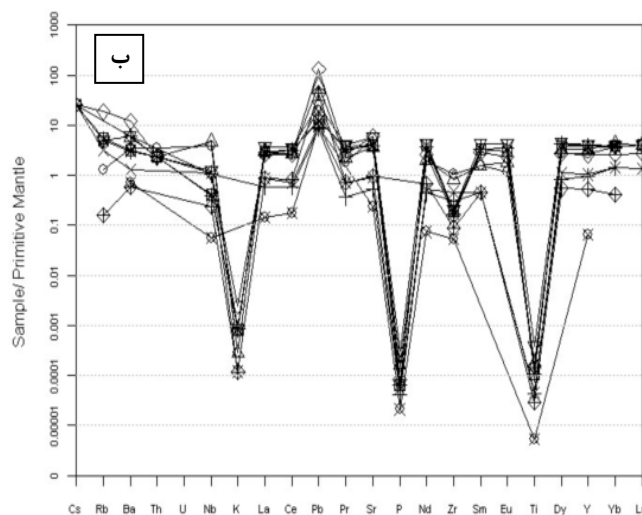
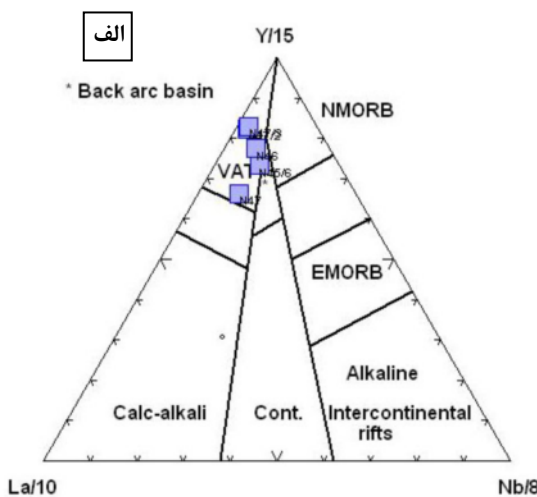
ای از سنگ‌های پلیتی شامل میکاشیست، آندالوزیت-شیست، اسلیت و شیست آهکی مورد بررسی قرار گرفته است. درصد SiO_2 این سنگ‌ها از ۸۴-۵۹ درصد متغیر است و درصد Al_2O_3 آنها نیز ۱۶-۳ درصد است.

توریم و اورانیم

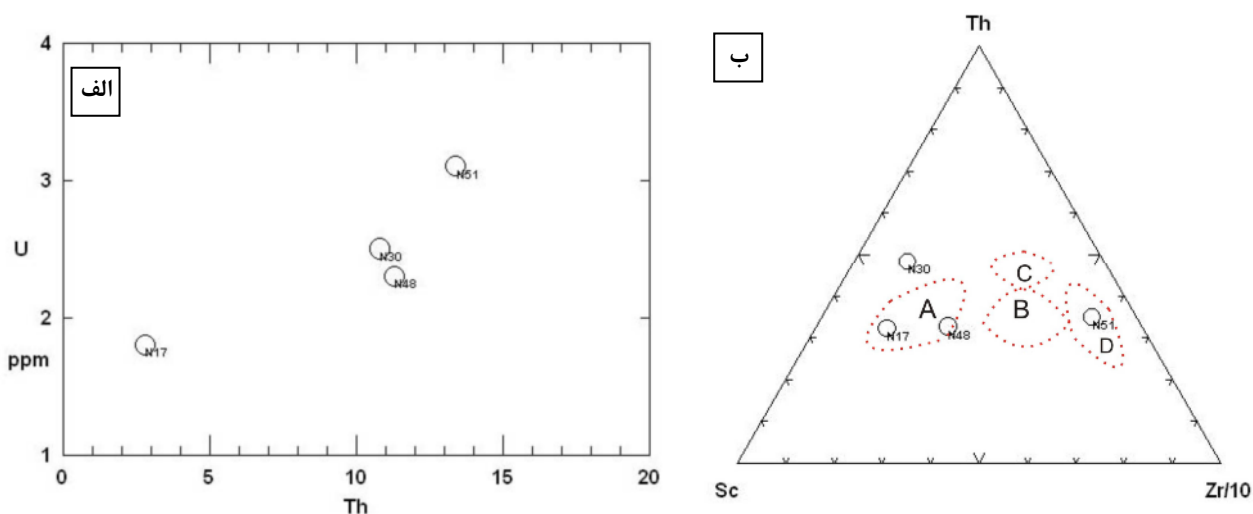
میزان Th و U در این سنگ‌ها به ترتیب از میکاشیست‌ها به سمت شیست‌های آهکی افزایش می‌یابد. روند افزایش Th و U در سنگ‌های آهکی افزایش می‌یابد.



شکل ۴ (الف) موقعیت متابازیت‌های بررسی شده در نمودار دلا روچ (De la Roche et al., 1980)، (ب) متابازیت‌های منطقه مورد بررسی در نمودار پیرس و کان (Pearce & Cann, 1973).



شکل ۵ (الف) موقعیت زمین‌ساختی متابازیت‌های منطقه در نمودار کابانیس لکول (Cabanes Lecolle, 1989). (ب) نمودار عنکبوتی متابازیت‌های آنالیز شده در نمودار سان و مکداف (Sun and Macdough, 1989).



شکل ۶ (الف) سنگ‌های متاپلیتی منطقه‌ی ماسال-شاندرمن در نمودار Th-U [۲۱]. (ب) جایگاه زمین‌ساختی متاپلیت‌های منطقه در مثلث Th-Sc-Zr/10 [۲۰].

های منطقه، پروتولیت گابرو-گابرونوریت داشته و عناصر P, Ti در نمودار عناصر کمیاب بهنجار شده نسبت به گوشه‌ی اولیه دارای نابهنجاری منفی هستند در حالی که Pb نابهنجاری مثبت نشان می‌دهد. این شواهد شاخص سنگ‌های ماقمایی Th, Hf, La, U نواحی فروزانش است. الگوی عناصر کمیاب در متاپلیت‌های منطقه از میکاشیست‌ها به سمت شیست‌های آهکی افزایش نشان داده و این نسبت در سنگ‌های منطقه نشانگر تغییر در خاستگاه مادر این سنگ‌ها از رسوبی به سمت سنگ‌های آتشفسانی است [۲۲, ۲۳]. بر این اساس، داده‌های ژئوشیمیابی، به نواحی فروزانش وابستگی دارند و نیز همراهی آن با شاخص‌های ژئوشیمی آتشفسانی، با در نظر گرفتن منابع علمی معتبر درباره‌ی تاریخچه زمین‌ساخت این ناحیه و تکامل آن، این جمع‌بندی را به دست می‌دهد که فعالیت ماقمایی محدود به کوه‌های دریایی (Sea mounts) در حاشیه‌ی غیرفعال بوده (نه کمان ماقمایی در حاشیه‌ی فعال) که این مجموعه به سمت شمال به زیر ورقه‌ی توران فروزانش کرده و سنگ‌های دگرگونی مورد بررسی در ناحیه‌ی زمین‌درز شکل گرفته‌اند و حاشیه‌ی فعال این مجموعه در سمت ورقه‌ی توران قرار داشته است.

Th-Sc-Zr

نسبت Th/Sc از شیست‌های آهکی به میکاشیست‌های منطقه کاهش نشان می‌دهد. همچنین نسبت Zr/Th نیز از شیست‌های آهکی به سمت میکاشیست‌ها کاهش می‌یابد. از این نسبت‌ها می‌توان برای تعیین محیط زمین‌ساختی این رسوب‌ها استفاده کرد. نسبت Th/Co نیز از شیست‌های آهکی به سمت میکاشیست‌ها کاهش نشان می‌دهد. شیست‌های آهکی که دارای نسبت بالای Zr/Th هستند، نزدیک قطب Zr قرار می‌گیرند که این امر نشان دهنده‌ی جایگاه حاشیه‌ی غیرفعال (Passive margin) برای نهشت سنگ مادر این مجموعه است [۲۵, ۲۶]. همچنین میکاشیست‌ها، آندالوزیت‌شیست‌ها و اسلیت‌های منطقه ماسال-شاندرمن در نزدیکی Sc قرار می‌گیرند که نشانگر جایگاه جزایر کمانی اقیانوسی برای تشکیل آنهاست (شکل ۶ ب) [۲۰, ۲۱].

جایگاه زمین‌ساختی

سنگ‌های دگرگون مجموعه‌ی ماسال-شاندرمن دربرگیرنده‌ی مجموعه‌ای از سنگ‌های متاپلیت و متاپلیتی است که سن آنها پالئوزوئیک بالایی-تریاس زیرین است. براساس داده‌های ژئوشیمیابی عناصر اصلی و کمیاب مشخص شد که متاپلیت-

مراجع

- [۱۱] آقانباتی سیدعلی، "زمین‌شناسی ایران"، انتشارات سازمان زمین‌شناسی و اکتشافات معدنی کشور، (۱۳۸۳)، ۵۸۶ صفحه.
- [۱۲] یاردلی بروس، "مبانی پترولوزی دگرگونی"، ترجمه‌ی علی کعانیان، حبیب‌الله قاسمی و عباس آسیابانها، انتشارات ماجد، (۱۳۷۲)، ۴۱۱ صفحه.
- [۱۳] Gust D. A, Perfit MR., "Prise relation of a high-Mg basalt from the Aleutian island arc basalts and high-Al basalts", Contrib Mineral petrol. 97 (1987) 7-18.
- [۱۴] Pearce J.A., Norry M.J., "Petrogenetic implication of Ti, Zr, Y and Nb variations in volcanic rocks", Con. Min. Petrol (1979) 33-51.
- [۱۵] Pearce J.A., Parkinson I.J., "Trace element models for mantle melting: application to volcanic arc petrogenesis. In Prichard, H. M., Alasbaster, T., Harris, N. B. W., Neary, C. R. (Eds.), Magmatic processes in Plate Tectonics, vol. 76. Geological Society of London Special Publication (1993) 373-403.
- [۱۶] Morrata D., Aguirre L., "Extensional lower Cretaceous volcanism in the Coastal Range (2920-30 S), Chile: geochemistry and petrogenesis", J. South Amer. Earth Sci. 16 (2003) 459-476.
- [۱۷] You C.F., Castillo P.R., Gieskes J.M., Chan L.H., Spivack A.J., "Trace element behavior in hydrothermal experiments: implications for fluid processes at shallow depths in subduction zone", Earth and Planetary Science Letters (1996) 140, 41-52.
- [۱۸] Kamber B. S., Ewart A., Bruce M. C., Donald G. D., "Fluid- mobile trace element constraints on the role of slab melting and implication of Archean crustal growth model", Contrib Mineral Petrol. 144 (2002) 38-56.
- [۱۹] Muller D., Groves D.I., "Potassic igneous rocks and associated gold-copper mineralization", Lecture Notes in Earth Sciences (1997) No.56.
- [۲۰] Bhatia MR., "Rare earth element geochemistry of Australian Paleozoic graywackes and mudrocks: provenance and tectonic control", Sed Geol (1985) 45, 97-113.
- [۲۱] Bhatia MR, Taylor SR, "Trace element geochemistry and sedimentary provinces: a study [۱] عمرانی ه، "بررسی پترولوزیکی اکلوزیت‌های شاندرمن (شمال ایران)"، پایان‌نامه دکتری دانشگاه تبریز (۱۳۸۹).
- [۲] Zanchetta S., Zanchi A., Villa I., Poli S., Muttoni G., "The Shanderman eclogites: a Late Carboniferous high-pressure event in the NW Talesh Mountains (NW Iran)", Geological Society, London, Special Publications, 312 (2009) 57-78.
- [۳] Zanchi A., Berra F., Mattei M., Ghassemi R. M., Sabouri J., "Inversion tectonics in central Alborz, Iran", Journal of Structural Geology, 28 (2006) 2023-2037.
- [۴] Seyed-Emami K., Fürsich F.T, Wilmsen M., Cecca F., Majidifard M. R., Schairer G., Shekarifard A., "Stratigraphy and ammonite fauna of the upper Shemshak Formation (Toarcian-Aalenian) at Tazareh, eastern Alborz, Iran", Journal of Asian Earth Sciences, 28 (2006) 259-275.
- [۵] Davies R. G., Jones C. R., Hamzepour B., Clark G. C., "Geology of Masuleh sheet, 1:100,000, northwest Iran", Geological survey of Iran, Report No. 24 (1972) 110.
- [۶] افتخارنژاد ج، بهروزی، "سن مجموعه دگرگونه و افیولیت-های اسلام-شاندرمن و ارتباط زیودینامیکی آن‌ها با پالئوتیس و پوسته شبه اقیانوسی خزر"، فصلنامه علوم زمین، شماره ۳ (۱۳۷۰) ص ۱۵-۴.
- [۷] Stampfli G.M., Kozur H.W., "Europe from the Variscan to the Alpine cycles. In: Gee, D.G., Stephenson, R.A. (Eds.), European lithosphere dynamics", Memoir of the Geological Society, London., (2006) 32, 57-82.
- [۸] نوگل سادات میرعلی‌اکبر، "گزارش مقدماتی زمین‌شناسی استان گیلان"، استانداری گیلان (۱۳۷۱).
- [۹] قربانی منصور، "نگرش کلی بر زمین‌شناسی، چینه‌شناسی، ماقماتیسم و متامورفیسم ایران"، انتشارات آرین زمین (۱۳۸۶).
- [۱۰] Nazari H., Omrani J., Shahidi A., Salamat R., Moosavi A., "Geological map of Bandar-e- Anzali, 1:100,000", Geological Survey of Iran (2004).

- [23] Heir K.S., “*The distribution and redistribution of heat producing elements in the continents*”, Philos. Trans. R. Soc. London, Ser. A (1978) 288, 393-400.
- [22] Miyashiro A, “*Volcanic rock series in island arcs and active continental margins*”, Am J Sci (1974) 274, 321-355.
- from the Tassman Geosyncline Australia”, Chem Geol (1981) 33, 115-126.